

Zooplankton.

Fiche 28.

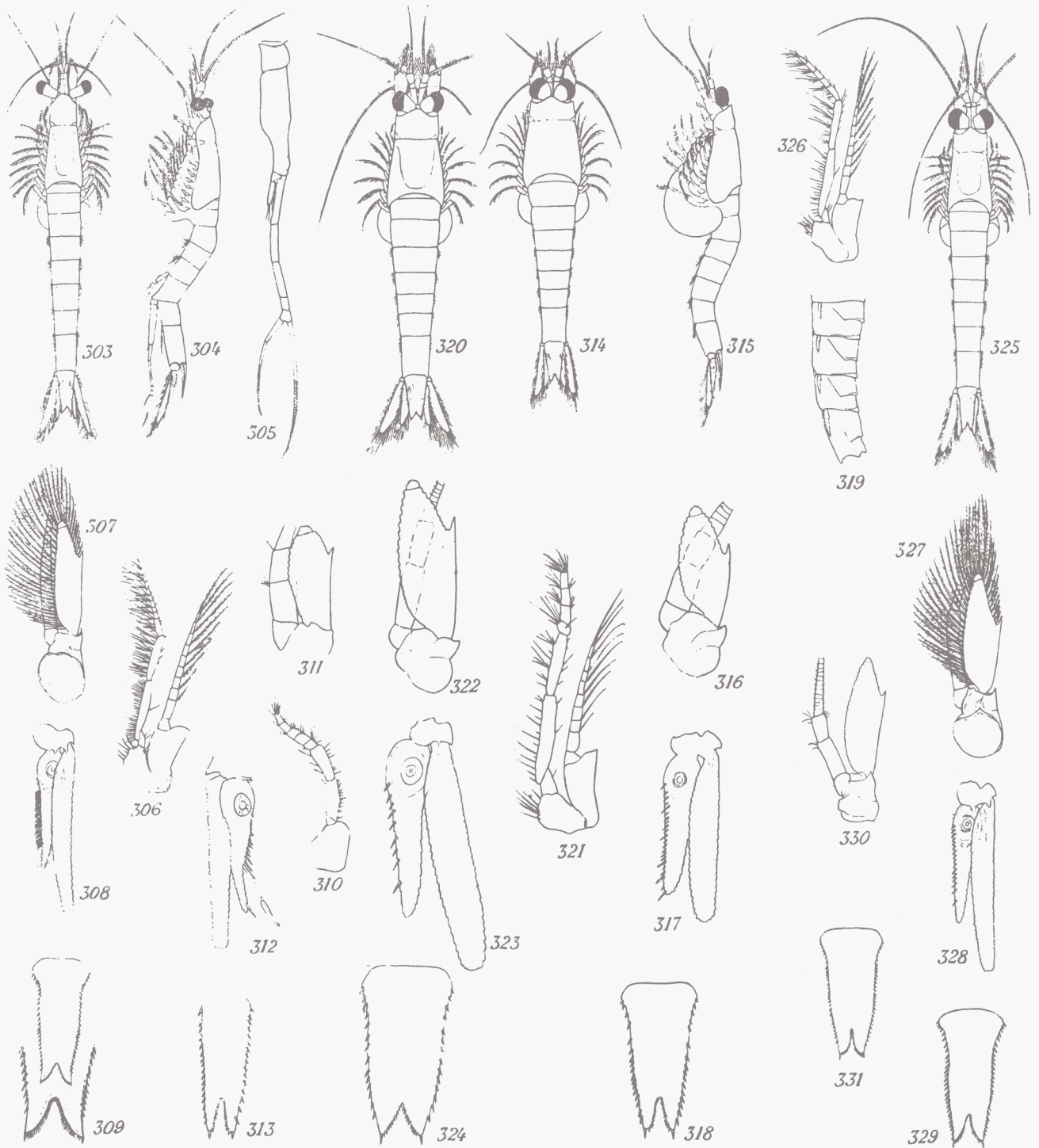
MYSIDACEA

Fam. Mysidae (suite 7): **MYSINAE** (suite 5):

Mysini (suite 1)

(Par H. Nouvel)

1950.



(D'après divers auteurs; fig. 319 originale. — Echelles différentes)

Fam. MYSIDAE Dana (suite 7)

Sous-fam. MYSINAE Hansen (suite 5)

Tribu Mysini Hansen (suite 1)

Genre PARAMYSIS (Czerniavsky) Zimmer

Clé de détermination des espèces considérées :

- I. Extrémité de la rame interne des uropodes infléchie vers le telson (fig. 308, 312) (s/g. *Synmysis*) II
- Extrémité de la rame interne des uropodes non infléchie III
- II. Yeux cylindriques débordant largement la carapace. Lobe distal de l'écaille antennaire plus long que large *spiritus*
- Yeux piriformes débordant à peine la carapace. Lobe distal de l'écaille environ aussi long que large *parkeri*
- III. Tarse des pattes thoraciques à 4 ou 5 articles dont le proximal est court, cupuliforme (fig. 321) (s/g. *Paramysis*) IV
- Tarse des pattes à 5—7 articles, tous cylindriques (fig. 326) (s/g. *Schistomysis*) VI
- IV. Une vingtaine d'épines inégales le long du bord interne de la rame interne des uropodes. Le lobe distal est presque aussi long que le reste de l'écaille antennaire V
- Au plus, une dizaine d'épines subégales le long du bord interne de la rame interne des uropodes. Le lobe distal est bien moins long que le reste de l'écaille *helleri*
- V. Les téguments des somites abdominaux présentent des replis si bien qu'en vue dorsale, le nombre de ces somites paraît doublé. Les derniers somites thoraciques, non recouverts par la carapace, forment des bourrelets transversaux *portzicensis* n.sp.
- Les somites abdominaux et thoraciques ne présentent ni replis ni bourrelets *arenosa*
- VI. Le lobe distal de l'écaille antennaire est seulement un peu plus court que le reste de l'écaille *ornata*
- Le lobe distal vaut à peine la moitié du reste de l'écaille *kervillei*

Sous-genre SYNMYISIS Czerniavsky

- 82. *P. (S.) spiritus* (Norman 1860). — (Fig. 303—309). — G. O. Sars, 1879, (*Mysis spiritus*) pl. XXVIII. Zimmer, 1909, (*Schistomysis spiritus*) fig. 316—319. 1933, fig. 17.
- 83. *P. (S.) parkeri* (Norman 1892). — (Fig. 310—313). — Norman, 1892b, (*Schistomysis parkeri*) pl. X, fig. 1—7. Zimmer, 1909, (*Schistomysis parkeri*) fig. 337—339.

Sous-genre PARAMYSIS Czerniavsky

- 84. *P. (P.) arenosa* (G. O. Sars 1877). — (Fig. 314—318). — G. O. Sars, 1877, (*Mysis arenosa*) pl. 5 et 6. Zimmer, 1909, (*Schistomysis arenosa*) fig. 332—336. 1933, fig. 18—19.
- 85. *P. (P.) portzicensis* n.sp. — (Fig. 319). — Bretagne: de la baie de Douarnenez (Finistère) à la baie de Lannion (Côtes-du-Nord).
- 86. *P. (P.) helleri* (G. O. Sars 1877). — (Fig. 320—324). — G. O. Sars, 1877, (*Mysis helleri*) pl. 1 et 2. Zimmer, 1909, (*Schistomysis helleri*) fig. 327—331. Bacesco, 1941b, fig. 31.

Sous-genre SCHISTOMYSIS Norman

- 87. *P. (Sch.) ornata* (G. O. Sars 1864). — (Fig. 325—329). — G. O. Sars, 1879, (*Mysis ornata*) pl. XXIX. Zimmer, 1909, fig. 320—326. 1932b, p. 11. 1933, fig. 20—21.
- 88. *P. (Sch.) kervillei* (G. O. Sars 1885). — (Fig. 330—331). — G. O. Sars, 1885c, (*Mysis kervillei*) pl. 5. Hoek, 1887, (*Mysis kervillei*) pl. VII. Zimmer, 1932b, p. 11. 1933, fig. 22.

Distribution

(voir fiche 27)

Références

- Hoek, P. P. C. 1887. Tijdschr. Nederlandsche Dierk. Vereen., 2 ser., Deel 1, pp. 93—105, pl. VII.
- Norman, A. M. 1892b. Ann. Mag. Nat. Hist., Sies. 6, vol. 10, pp. 143—166, 242—263; pl. IX et X.
- Sars, G. O. 1885c. Bull. Soc. Amis Sc. Nat. Rouen, Sie. 3, vol. 21, pp. 92—98, pl. 5.

Autres références: voir fiches 19 et 20.

Légende des Figures.

- Fig. 303—309. *Paramysis spiritus*: 303, ♀, vue dorsale; 304, ♂, vue latérale; 305, pléopode 4 du ♂; 306, péréiopode (2^e paire): 307, base de l'antenne; 308, uropode gauche, face inférieure: 309, telson.
- Fig. 310—313. *Paramysis parkeri*: 310, endopodite d'un péréiopode: 311, base de l'antenne; 312, uropode droit, face inférieure: 313, telson.
- Fig. 314—318. *Paramysis arenosa*: 314, ♀, vue dorsale; 315, ♀, vue latérale; 316, base de l'antenne; 317, uropode gauche, face inférieure; 318, telson.
- Fig. 319. *Paramysis portzicensis*, derniers somites abdominaux, vue latérale.
- Fig. 320—324. *Paramysis helleri*: 320, ♀, vue dorsale; 321, péréiopode (1^e paire); 322, base de l'antenne; 323, uropode gauche, face inférieure; 324, telson.
- Fig. 325—329. *Paramysis ornata*: 325, ♀, vue dorsale; 326, péréiopode (1^e paire); 327, base de l'antenne; 328, uropode gauche, face inférieure; 329, telson.
- Fig. 330—331. *Paramysis kervillei*: 330, base de l'antenne; 331, telson.